

# BaF<sub>2</sub> 晶体用于中能重离子核反应中的粒子鉴别\*

刘冠华 郭忠言 詹文龙 诸永泰  
胡晓庆 郁鸿飞 周建群 冯恩普  
(中国科学院近代物理研究所, 兰州 730000)

## 摘要

将 BaF<sub>2</sub> 晶体与半导体探测器组成的望远镜用于 <sup>12</sup>C(46.7 MeV/u)入射核反应中前方向产物的测量, 用  $\Delta E-E$  方法和快慢成分关联方法进行了粒子鉴别。同时还研究了 BaF<sub>2</sub> 晶体对多种离子的响应。

## 一、引言

在中能重离子核反应的产物鉴别中,  $\Delta E-E$  技术得到广泛的应用。一般用硅半导体作  $\Delta E$  探测器, 闪烁体则用来作剩余能量探测器, 因为它阻止本领大<sup>[1]</sup>, 并且可以加工成大尺寸的探测器。BaF<sub>2</sub> 晶体的特点在于它具有两种不同的发光成分<sup>[2]</sup>: 快成分波长为 220nm, 发光衰减时间为 600ps; 慢成分波长为 310nm, 发光衰减时间为 620ns。我们可以利用其快慢成分之比来鉴别高能的轻带电粒子。与 CsI(Tl) 相比, BaF<sub>2</sub> 晶体的能量分辨及粒子鉴别能力都要差一些, 但其时间特性好, 可承受较高的计数率, 适于核反应中前方向出射产物的测量。

BaF<sub>2</sub> 晶体具有以下几个特点<sup>[3]</sup>:

- (1) 响应快, 时间分辨可做到  $\sim 100\text{ps}$ <sup>[3]</sup>;
- (2) 密度大, 探测效率高, 其密度  $\rho = 4.88\text{g/cm}^3$ ;
- (3) 机械性能好, 易加工成大尺寸探测器;
- (4) 不潮解, 抗辐射损伤能力强<sup>[4]</sup>, 并且无自吸收。

BaF<sub>2</sub> 的这些特点决定了它在核物理探测装置中的重要地位, 它既能作时间测量, 也能作能量测量。迄今为止, BaF<sub>2</sub> 晶体主要用于  $\gamma$  探测中<sup>[5]</sup>。近年来, 也有一些工作研究 BaF<sub>2</sub> 晶体对不同离子的响应, 并利用 BaF<sub>2</sub> 的快慢成分关联来鉴别轻带电粒子<sup>[4,6-8]</sup>。本工作的目的是测量 BaF<sub>2</sub> 晶体对多种轻重带电粒子的响应, 并尝试用快慢成分方法鉴别高能轻带电粒子。

本文 1991 年 11 月 1 日收到

\* 国家自然科学基金资助项目。

## 二、BaF<sub>2</sub> 探测器

我们使用的 BaF<sub>2</sub> 晶体为圆柱形, 直径为 40mm, 长度为 20mm, 四周抛光。在其侧面包裹一层 Teflon 带、入射面覆盖一层薄的铝箔(厚约  $6\mu\text{g}/\text{cm}^2$ ), 后面通过 Silicone KE 103 硅油与 XP2020Q 型光电倍增管耦合。根据实验需要设计、调整分压电路, 使其增益合适, 测量动态范围大, 线性好。

用该 BaF<sub>2</sub> 晶体对 662keV 的  $\gamma$  射线进行测量, 能量分辨约 13%。在真空中对 8.78 MeV 的  $\alpha$  粒子进行测量, 能量分辨约 8%<sup>[9]</sup>。

我们用该 BaF<sub>2</sub> 晶体和两片厚度均为  $100\mu\text{m}$  的 Si 半导体组成望远镜, 以进行中能重离子核反应中的产物鉴别。实验中半导体所加高压分别为 100V 和 170V, 光电倍增管所加高压为 -2300V。将 BaF<sub>2</sub> 晶体望远镜置于与束流方向成  $9^\circ$  角处, 距靶心 115cm, 其前面的光栏直径为 8mm。实验中采用的电子学线路框图如图 1(a) 所示, 触发信号由第二片 Si 半导体给出, 对应于快慢成分的快慢门的选取如图 1(b) 示, 快门宽度为 45ns, 慢门宽度为 240ns, 快慢门之间的间隔为 150ns。这样选取快慢门是为了得到幅度适中的输

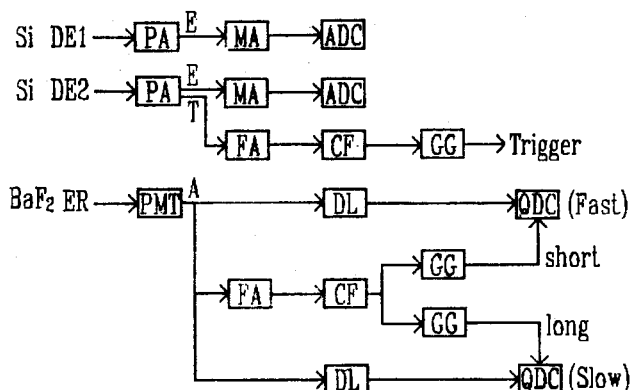


图 1(a) BaF<sub>2</sub> 晶体望远镜电子学线路框图

PMT: 光电倍增管	PA: 前置放大器	MA: 主放大器
FA: 快放大器	CF: 恒分频器	DL: 延迟放大器
GG: 门产生器	ADC: 模数变换器	QDC: 电荷数字变换器

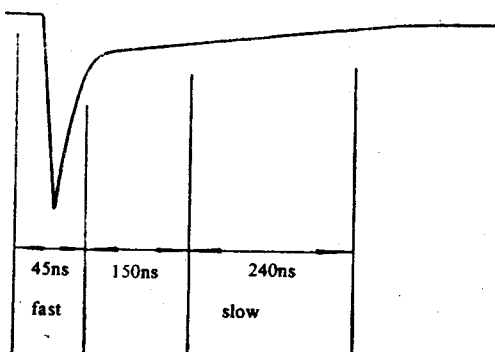


图 1(b) 快慢门的选取

出，并使快慢成分关联谱的晃动较小，从而得到较好的分辨。

### 三、测试结果

#### 1. 粒子鉴别

按传统的  $\Delta E-E$  望远镜方法，得到如图 2(a) 示的  $\Delta E$ -Slow 散布图。下面我们将

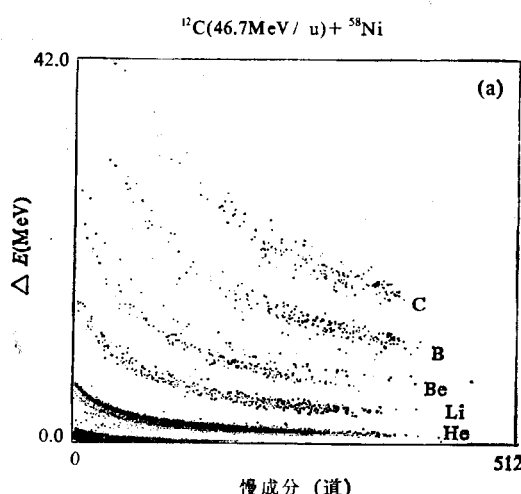


图 2(a)  $\Delta E$ -Slow 散布图

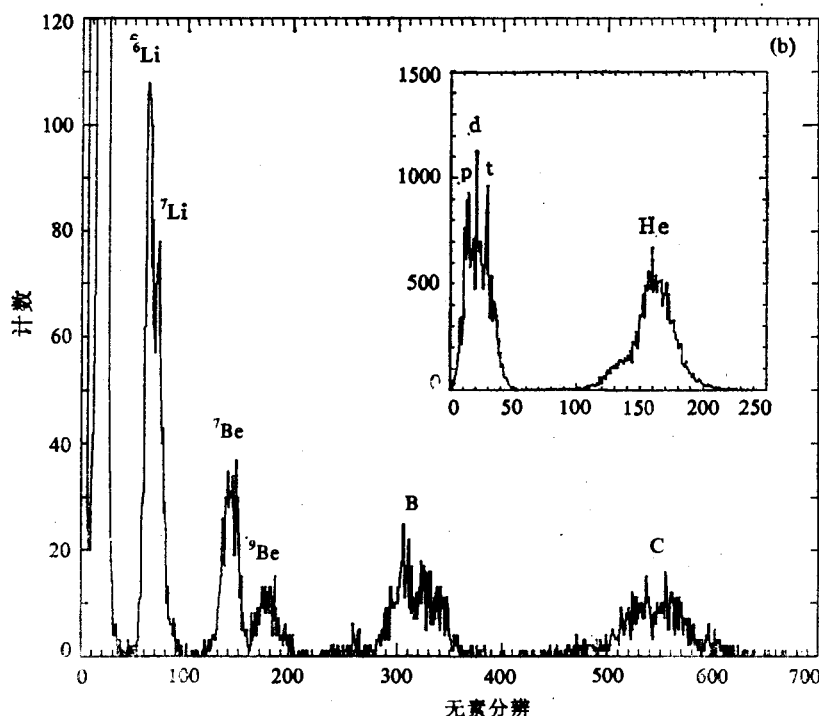


图 2(b) 图 2(a)经线性化的 Z 谱

看到,在所测的大部分能量范围内,  $\text{BaF}_2$  晶体的光输出的慢成分正比于停阻在其中的能量,因而可以用它代表能量。图 2(b)给出了相应的经过线性化后的 Z 谱。不同的元素可以分得很清楚,即使对低能的 p、d、t 也能分开。但是对具有较高能量的轻带电粒子,这种方法不能鉴别。

为了解决这个问题,我们采用快慢成分关联方法。测得的 fast-slow 散布图如图 3(a)示,质子带左边的带子是由于高能轻带电粒子穿过  $\text{BaF}_2$  而造成的回弯,因为  $\text{BaF}_2$  晶体的长度仅 20mm。相应的 Z 谱示于图 3(b)。由图 3(b)可看出,高能的轻带电粒子可以得到很好的鉴别。

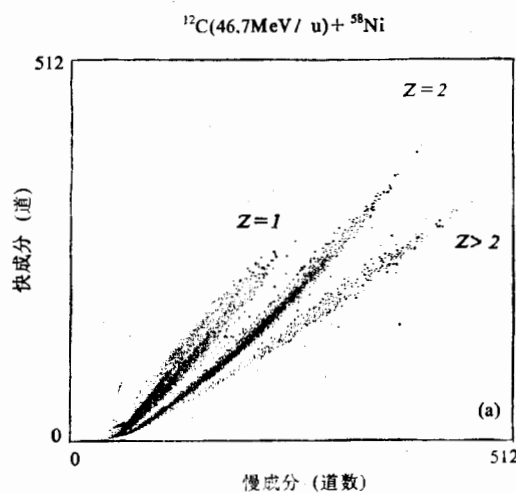


图 3(a) 测得的 fast-slow 散布图

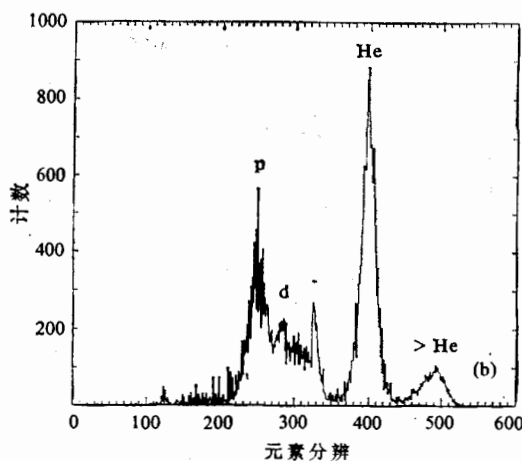


图 3(b) 经线性化后的 Z 谱

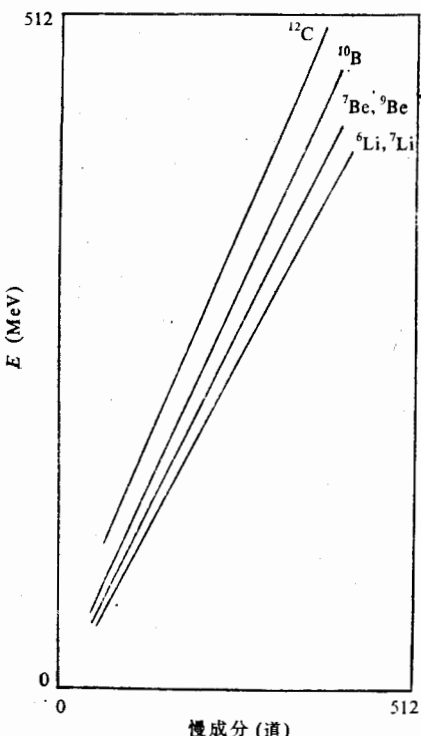


图 4  $\text{BaF}_2$  晶体对多种离子的响应

## 2. $\text{BaF}_2$ 晶体对多种离子的响应

对  $\text{BaF}_2$  晶体的能量刻度采用下面的方法,首先用精密脉冲产生器给 Si 半导体的

前置放大器输入一定的电荷量,以刻度  $\Delta E$ , 得到  $\Delta E$  的能量后, 再根据能损表来推知  $\text{BaF}_2$  中停阻的能量。这样得到的  $\text{BaF}_2$  对各种离子的响应曲线如图 4 示。 $\text{BaF}_2$  对较重的离子的响应曲线表明: 入射离子越重, 则相同能量的离子所引起的光输出越小, 这与目前所得到的普遍结果是一致的<sup>[4]</sup>。当入射离子的能量较高 ( $>10\text{ MeV/u}$ ) 时,  $\text{BaF}_2$  的响应是线性的, 而更低能量时则存在非线性。目前关于  $\text{BaF}_2$  对重离子的响应的研究还较少, 以后我们将用  $\text{BaF}_2$  晶体与较厚的半导体组合起来进行研究。

#### 四、结 论

我们用  $\text{BaF}_2$  望远镜测量了  $^{12}\text{C}(46.7\text{ MeV/u})$  入射核反应中前方向的产物, 用  $\Delta E-E$  方法和快慢成分方法进行了粒子鉴别。结果表明,  $\Delta E-E$  方法适用于重离子和低能轻带电粒子的鉴别, 而快慢成分方法则特别适于高能轻带电粒子的鉴别。同时, 还研究了  $\text{BaF}_2$  晶体对多种离子的响应。我们的结果表明对于较重的离子 ( $>\text{He}$ ), 离子越重, 则相同能量的离子在  $\text{BaF}_2$  中引起的光输出越小。当入射粒子的能量高于  $10\text{ MeV/u}$  时,  $\text{BaF}_2$  的响应是线性的, 低能时则存在非线性。

#### 参 考 文 献

- [1] Harshaw/Filtrol SCINTILLATION PHOSPHOR Catalog, 1984.
- [2] M. Laval et al., *Nucl. Instr. and Meth.*, **206**(1983), 169.
- [3] G. Tzanakos et al., *IEEE Trans. Nucl. Sci.*, **NS-37**(1990), 1599.
- [4] T. Murakami et al., *Nucl. Instr. and Meth.*, **A253**(1986), 163.
- [5] F. A. Beck, in *Instrumentation for Heavy Ion Nuclear Research*, Ed. D. Shapira (Harwood Academic Publishers, 1985) Vol. 7, p. 129.
- [6] E. Dafni, *Nucl. Instr. and Meth.*, **A254**(1987), 54.
- [7] S. Kubota et al., *IEEE Trans. Nucl. Sci.*, **NS-34**(1987), 438.
- [8] A. L. Boonstra et al., *GSI Scientific Report*, (1989), 290.
- [9] Liu Guanhua et al., IMP Annual Report (1990).

#### **$\text{BaF}_2$ Used for Particle Identification in Intermediate Energy Heavy Ion Reactions**

LIU GUANHUA    GUO ZHONGYAN    ZHAN WENLONG    ZHU YONGTAI

HU XIAOQING    XI HONGFEI    ZHOU JIANQUN    FENG ENPU

(Institute of Modern Physics, Academia Sinica, Lanzhou 730000)

#### ABSTRACT

A detector telescope consisting of a  $\text{BaF}_2$  crystal and Si detectors is used to measure forwardly emitted products in  $^{12}\text{C}(46.7\text{ MeV/u})$  induced heavy ion reactions, both  $\Delta E-E$  method and fast-slow correlation method are adopted in the particle identification. The response of  $\text{BaF}_2$  to various incident ions has been studied.